

連続等方性矩形板の固有周期算定法

九州大学 正員 山崎徳也
九州大学 正員 樗木 武
九州大学 学生員 〇横田 漢

1. 緒言 著者らは先んじ連続板の解法¹⁾、連続板の安定等²⁾を発表し、一連の連続板解析を行ひ、こゝに及ぶ、さらば本研究は連続板の固有周期の算定法を提示するものごである。

連続板の固有周期算定法に關しては倉田氏の論文³⁾があるが、差分法によつて一方向連続板の固有周期算定法であり、二方向連続板に對してそのまゝ適用は出来ず、また著者の知るかぎり二方向連続板に關するこの分野の研究は未だ見當らぬ。

本論文は一方向および二方向連続板のいずれにも適用しうべきに振幅動を角一隅一隅モーメント關係式を誘導し、これを用ひてかゝる構造物の固有周期を求めんとし及ぶものごである。

2. 振動を角一隅一隅モーメント關係式の誘導

等方性平面板の自由振動の基礎微分方程式は周知のごとく次式で表わされる。

$$\rho h \frac{\partial^2 w}{\partial t^2} + D \left\{ \frac{\partial^2 w}{\partial x^2} + 2 \frac{\partial^2 w}{\partial x^2 \partial y^2} + \frac{\partial^2 w}{\partial y^2} \right\} = 0 \quad \text{----- (1)}$$

ここに w : t 時刻における任意点 (x, y) のたわみ, h : 板の厚さ, ρ : 板の密度, D : 板剛度
に式(1)の解として次式を仮定する。 $w = v \cos \omega t$ ----- (2)

是れ ω は固有振動数であり、 v は x, y のみの函数である。

式(2)を式(1)に代入すれば v に關する次式がえられる。

$$\frac{\partial^2 v}{\partial x^2} + 2 \frac{\partial^2 v}{\partial x^2 \partial y^2} + \frac{\partial^2 v}{\partial y^2} - \frac{\rho h \omega^2 v}{D} = 0 \quad \text{----- (3)}$$

こゝで図-1に示すごとく、四辺単純支持の矩形板を以て x, y 軸、辺 A を y 軸および紙面に垂直にして z 軸をもつ直交座標系 (x, y, z) を導入し、辺 C, D と辺 A, B の長さそれぞれを a, b とする。しかると式(3)の一般解を次のごとく仮定する。

$$v = \sum_{m=1}^{\infty} X_m(x) \sin \frac{n\pi}{a} y + \sum_{n=1}^{\infty} Y_m(y) \sin \frac{m\pi}{a} x \quad \text{----- (4)}$$

式(4)を式(3)に代入すれば $X_m(x), Y_m(y)$ とし次式をうる。

$$\left. \begin{aligned} \mu < \frac{n^2 a^2}{a^2}, \mu' < \frac{m^2 a^2}{a^2} \text{ のとき } & \left. \begin{aligned} X_m(x) &= A_m^x \sinh \pi \lambda_m x + B_m^x \cosh \pi \lambda_m x + C_m^x \sinh \pi \lambda_m' x + D_m^x \cosh \pi \lambda_m' x \\ Y_m(y) &= A_m^y \sinh \pi \lambda_m y + B_m^y \cosh \pi \lambda_m y + C_m^y \sinh \pi \lambda_m' y + D_m^y \cosh \pi \lambda_m' y \end{aligned} \right\} \text{----- (5)} \end{aligned} \right.$$

$$\left. \begin{aligned} \mu > \frac{n^2 a^2}{a^2}, \mu' > \frac{m^2 a^2}{a^2} \text{ のとき } & \left. \begin{aligned} X_m(x) &= A_m^x \sinh \pi \lambda_m x + B_m^x \cosh \pi \lambda_m x + C_m^x \sin \pi \lambda_m' x + D_m^x \cos \pi \lambda_m' x \\ Y_m(y) &= A_m^y \sinh \pi \lambda_m y + B_m^y \cosh \pi \lambda_m y + C_m^y \sin \pi \lambda_m' y + D_m^y \cos \pi \lambda_m' y \end{aligned} \right\} \text{----- (5)'} \end{aligned} \right.$$

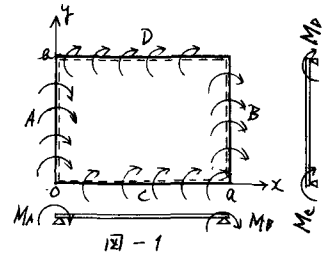
$$\text{是れ } \lambda_m^2 = \frac{a^2}{a^2} n^2 + \mu, \lambda_m'^2 = \frac{a^2}{a^2} - \mu, \mu = \frac{\omega}{\pi} a^2 \sqrt{\frac{\rho h}{D}}, \lambda_m^2 = \frac{a^2}{a^2} m^2 + \mu', \lambda_m'^2 = \frac{a^2}{a^2} m^2 - \mu'$$

$$\mu' = \frac{\omega}{\pi} a^2 \sqrt{\frac{\rho h}{D}}, \xi = \frac{x}{a}, \eta = \frac{y}{a}$$

よつて $\mu > \frac{n^2 a^2}{a^2}, \mu' > \frac{m^2 a^2}{a^2}$ の場合の解は式(5)'に於て爾後の展開は式(5)と全く同様かつ以後式(5)のみのみ展開表示を行う。

式(5)を式(4)に代入すれば式(3)の解は次式のごとくえられる。

$$v = \sum_{m=1}^{\infty} (A_m^x \sinh \pi \lambda_m \xi + B_m^x \cosh \pi \lambda_m \xi + C_m^x \sinh \pi \lambda_m' \xi + D_m^x \cosh \pi \lambda_m' \xi) \sin n \pi \eta \\ + \sum_{n=1}^{\infty} (A_m^y \sinh \pi \lambda_m \eta + B_m^y \cosh \pi \lambda_m \eta + C_m^y \sinh \pi \lambda_m' \eta + D_m^y \cosh \pi \lambda_m' \eta) \sin m \pi \xi \quad \text{----- (6)}$$



$k \times l$ $A_n^x \sim D_n^x$, $A_n^y \sim D_n^y$ は積分定数。

于て図-1に示す ξ と η の辺A, B, C, Dに端元-メント M_A, M_B, M_C, M_D が作用し、又状況下 $\delta_A, \delta_B, \delta_C, \delta_D$ が起るものとす。こゝを ξ を正弦フーリエ級数之展開すれば、境界条件は次の ξ と η と ϕ と ψ と。

$$\left. \begin{aligned} \phi = 0: & (V)_{\phi=0} = \delta_A = \sum_{n=1}^{\infty} \delta_{An} \sin n\pi\eta, \quad -D\left(\frac{\partial^2 V}{\partial x^2} + \nu \frac{\partial^2 V}{\partial y^2}\right)_{\phi=0} = M_A = \sum_{n=1}^{\infty} M_{An} \sin n\pi\eta \\ \phi = 1: & (V)_{\phi=1} = \delta_B = \sum_{n=1}^{\infty} \delta_{Bn} \sin n\pi\eta, \quad -D\left(\frac{\partial^2 V}{\partial x^2} + \nu \frac{\partial^2 V}{\partial y^2}\right)_{\phi=1} = M_B = \sum_{n=1}^{\infty} M_{Bn} \sin n\pi\eta \\ \eta = 0: & (V)_{\eta=0} = \delta_C = \sum_{m=1}^{\infty} \delta_{Cm} \sin m\pi\phi, \quad -D\left(\frac{\partial^2 V}{\partial y^2} + \nu \frac{\partial^2 V}{\partial x^2}\right)_{\eta=0} = M_C = \sum_{m=1}^{\infty} M_{Cm} \sin m\pi\phi \\ \eta = 1: & (V)_{\eta=1} = \delta_D = \sum_{m=1}^{\infty} \delta_{Dm} \sin m\pi\phi, \quad -D\left(\frac{\partial^2 V}{\partial y^2} + \nu \frac{\partial^2 V}{\partial x^2}\right)_{\eta=1} = M_D = \sum_{m=1}^{\infty} M_{Dm} \sin m\pi\phi \end{aligned} \right\} \dots (7)$$

式(4)式(7)の諸式に代入すれば、積分定数 $A_n^x \sim D_n^x$, $A_n^y \sim D_n^y$ が求まり、次式の ξ と η と ϕ と ψ と。

$$\left. \begin{aligned} A_n^x &= \frac{-a^2}{\pi^2(\lambda_n^2 - \lambda_n'^2) \sinh \pi \lambda_n} \left\{ \frac{\cosh \pi \lambda_n M_{An} + M_{Bn}}{D} - \left(\frac{\pi^2 \lambda_n^2}{a^2} - \nu \beta_n^2\right) (\delta_{Bn} - \cosh \pi \lambda_n \delta_{An}) \right\} \\ B_n^x &= \frac{a^2}{\pi^2(\lambda_n^2 - \lambda_n'^2)} \left\{ \frac{M_{An}}{D} + \left(\frac{\pi^2 \lambda_n^2}{a^2} - \nu \beta_n^2\right) \delta_{An} \right\} \\ C_n^x &= \frac{-a^2}{\pi^2(\lambda_n^2 - \lambda_n'^2) \sinh \pi \lambda_n} \left\{ \frac{\cosh \pi \lambda_n M_{An} + M_{Bn}}{D} - \left(\frac{\pi^2 \lambda_n^2}{a^2} - \nu \beta_n^2\right) (\delta_{Bn} - \cosh \pi \lambda_n \delta_{An}) \right\} \\ D_n^x &= \frac{a^2}{\pi^2(\lambda_n^2 - \lambda_n'^2)} \left\{ \frac{M_{An}}{D} + \left(\frac{\pi^2 \lambda_n^2}{a^2} - \nu \beta_n^2\right) \delta_{An} \right\} \\ A_n^y &= \frac{-a^2}{\pi^2(\lambda_n^2 - \lambda_n'^2) \sinh \pi \lambda_n} \left\{ \frac{\cosh \pi \lambda_n M_{Cm} + M_{Dm}}{D} - \left(\frac{\pi^2 \lambda_n^2}{a^2} - \nu d_n^2\right) (\delta_{Dm} - \cosh \pi \lambda_n \delta_{Cm}) \right\} \\ B_n^y &= \frac{a^2}{\pi^2(\lambda_n^2 - \lambda_n'^2)} \left\{ \frac{M_{Cm}}{D} + \left(\frac{\pi^2 \lambda_n^2}{a^2} - \nu d_n^2\right) \delta_{Cm} \right\} \\ C_n^y &= \frac{-a^2}{\pi^2(\lambda_n^2 - \lambda_n'^2) \sinh \pi \lambda_n} \left\{ \frac{\cosh \pi \lambda_n M_{Cm} + M_{Dm}}{D} - \left(\frac{\pi^2 \lambda_n^2}{a^2} - \nu d_n^2\right) (\delta_{Dm} - \cosh \pi \lambda_n \delta_{Cm}) \right\} \\ D_n^y &= \frac{a^2}{\pi^2(\lambda_n^2 - \lambda_n'^2)} \left\{ \frac{M_{Cm}}{D} + \left(\frac{\pi^2 \lambda_n^2}{a^2} - \nu d_n^2\right) \delta_{Cm} \right\} \end{aligned} \right\} \dots (8)$$

さて、図-1に示す ξ と η の矩形板の ξ と η と ϕ と ψ の D に於ける k の2次元一般 k の函数之あり、辺A, B, C, Dの ϕ と ψ の函数之あるが、これらを代数函数之表し可 ξ と η の矩形板の振動に於ける ξ と η の ξ と η と展開す。

$$\left(\frac{\partial k}{\partial x}\right)_{\phi=0} = \sum_{n=1}^{\infty} \delta_{An} \sin n\pi\eta, \quad \left(\frac{\partial k}{\partial x}\right)_{\phi=1} = \sum_{n=1}^{\infty} \delta_{Bn} \sin n\pi\eta, \quad \left(\frac{\partial k}{\partial y}\right)_{\eta=0} = \sum_{m=1}^{\infty} \delta_{Cm} \sin m\pi\phi, \quad \left(\frac{\partial k}{\partial y}\right)_{\eta=1} = \sum_{m=1}^{\infty} \delta_{Dm} \sin m\pi\phi \quad (9)$$

式(8)式(6)に代入しその結果を式(9)の右辺 k に代入すれば、 $\delta_{An}, \delta_{Bn}, \delta_{Cm}, \delta_{Dm}$ と $M_{An}, M_{Bn}, M_{Cm}, M_{Dm}$, $\delta_{An}, \delta_{Bn}, \delta_{Cm}, \delta_{Dm}$ との關係式が求まり、逆算より整理すれば図-1に示す ξ と η の矩形板の振動に於ける ξ と η の邊元-メント關係式が次の ξ と η と ϕ と ψ と。

$$\left. \begin{aligned} \delta_{An} &= \frac{a}{D} \{ A(n) M_{An} + B(n) M_{Bn} \} + \frac{a}{D} \sum_{m=1}^{\infty} \{ C(m, n) M_{Cm} + D(m) M_{Dm} \} + \frac{1}{a} \{ C(n) \delta_{Bn} + D(n) \delta_{Dn} \} + \frac{1}{a} \sum_{m=1}^{\infty} \{ F(m, n) \delta_{Cm} - G(m) \delta_{Dm} \} \\ \delta_{Bn} &= \frac{a}{D} \{ B(n) M_{An} + A(n) M_{Bn} \} + \frac{a}{D} \sum_{m=1}^{\infty} \{ F(m, n) M_{Cm} + G(m) M_{Dm} \} - \frac{1}{a} \{ D(n) \delta_{An} + C(n) \delta_{Bn} \} + \frac{1}{a} \sum_{m=1}^{\infty} \{ E(m) F(m, n) \delta_{Cm} - G(m) \delta_{Dm} \} \\ \delta_{Cm} &= \frac{a}{D} \sum_{n=1}^{\infty} \{ E(n, m) M_{An} + G(n) M_{Bn} \} + \frac{a}{D} \{ A(m) M_{Cm} + B(m) M_{Dm} \} + \frac{1}{a} \sum_{n=1}^{\infty} \{ F(n, m) \delta_{An} - G(n) \delta_{Bn} \} + \frac{1}{a} \{ C(m) \delta_{Cm} + D(m) \delta_{Dm} \} \\ \delta_{Dm} &= \frac{a}{D} \sum_{n=1}^{\infty} \{ E(n, m) M_{An} + G(n) M_{Bn} \} + \frac{a}{D} \{ B(m) M_{Cm} + A(m) M_{Dm} \} + \frac{1}{a} \sum_{n=1}^{\infty} \{ F(n, m) \delta_{An} - G(n) \delta_{Bn} \} - \frac{1}{a} \{ D(m) \delta_{Cm} + C(m) \delta_{Dm} \} \\ k(x, y) &= \frac{a(x)}{\pi f(x)} + \frac{b(x)}{\pi f(x)}, \quad B(x, y) = \frac{2mn \varepsilon^2}{\pi^2 g(x, y)}, \quad C(x, y) = \frac{c(x)}{\pi f(x)}, \quad D(x, y) = \frac{d(x)}{\pi f(x)}, \quad F(x, y) = \frac{2mn \varepsilon^2 l(x, y)}{g(x, y)} \\ E(x, y) &= \frac{2mn}{\varepsilon \pi^2 h(x, y)}, \quad A(x, y) = \frac{c \rho(x)}{\pi h(x, y)}, \quad B'(x, y) = \frac{\varepsilon f(x)}{\pi h(x, y)}, \quad F'(x, y) = \frac{2mn c(x, y)}{\varepsilon h(x, y)}, \quad C'(x, y) = \frac{\eta(x)}{\pi h(x, y)}, \quad D(x, y) = \frac{\delta(x)}{\pi h(x, y)} \\ a(x) &= \lambda' \coth \pi \lambda' - \lambda \coth \pi \lambda, \quad b(x) = \frac{\lambda'}{\sinh \pi \lambda'} - \frac{\lambda}{\sinh \pi \lambda}, \quad f(x) = \lambda'^2 - \lambda^2, \quad g(x, y) = (\eta^2 + \lambda'^2)(\lambda^2 + \lambda'^2) \\ c(x) &= -\lambda \pi^2 (\lambda'^2 - \frac{\eta^2 \nu}{\varepsilon^2}) \coth \pi \lambda + \lambda' \pi^2 (\lambda^2 - \frac{\eta^2 \nu}{\varepsilon^2}) \coth \pi \lambda', \quad d(x) = \frac{\lambda'^2 - \eta^2 \nu / \varepsilon^2}{\sinh \pi \lambda} \lambda \pi^2 - \frac{\lambda^2 - \eta^2 \nu / \varepsilon^2}{\sinh \pi \lambda} \lambda' \pi^2 \\ h(x, y) &= \frac{\eta^2 + \lambda'^2 + \lambda^2}{-2 \nu m^2}, \quad i(x, y) = (m^2 + \lambda'^2)(m^2 + \lambda^2), \quad j(x, y) = -\lambda \coth \pi \lambda + \lambda' \coth \pi \lambda', \quad k(x) = \lambda'^2 - \lambda^2 \\ l(x, y) &= \frac{\varepsilon^2}{\sinh \pi \lambda} + \frac{\lambda'}{\sinh \pi \lambda'}, \quad m(x, y) = m^2 + \lambda'^2 + \lambda^2 - \frac{\nu \eta^2}{\varepsilon^2}, \quad n(x, y) = \frac{2 \lambda \pi^2 (\lambda'^2 \varepsilon^2 - \nu \eta^2)}{\sinh \pi \lambda} + \frac{\lambda' \pi^2 (\lambda^2 \varepsilon^2 - \nu \eta^2)}{\sinh \pi \lambda} \\ r(x, y) &= \lambda \pi^2 (\lambda'^2 / \varepsilon^2 - \nu m^2) \coth \pi \lambda + \lambda' \pi^2 (\lambda^2 / \varepsilon^2 - \nu m^2) \coth \pi \lambda', \quad \dots (10) \end{aligned} \right\}$$

3. 節線方程式及 α の境界条件式

求めれば、表-1(1)欄に示すことと結果をえ、表-1(2)欄の文献(3)の結果と実用上一致した。

(2)二方向連続板 図-4に示すごとく四つの正方形板で構成される周辺単
純支持二方向連続板の固有周期算定法を示せば次の通りである。
いま支承沈下はすべてないこととすれば、 $\delta_{A1n} \sim \delta_{D1n}$, $\delta_{A2n} \sim \delta_{D2n}$,
 $\delta_{A3n} \sim \delta_{D3n}$, $\delta_{A4n} \sim \delta_{D4n}$ はすべて0であり、また周辺の単純支持条件より
 $M_{A1n} = M_{C1n} = M_{B2n} = M_{C2n} = M_{A3n} = M_{D3n} = M_{B4n} = M_{D4n} = 0$ であり、したがって
板①, ②, ③, ④に関する式(4)の振動力の片角一端モーメント関係式が
次のごとくえられる。

μ^2		
種別	(1)	(2)
2	3.087	3.080
3	2.245	2.244
4	1.947	1.954
5	1.808	1.809
6	1.733	1.734

表-1

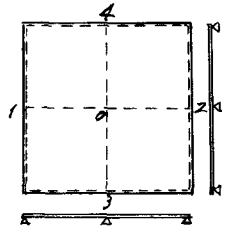


図-4

$$\left. \begin{aligned} \delta_{B1n} &= \frac{a}{D} A_{(n)} M_{B1n} + \frac{a}{D} \sum_{m=1}^{m \neq n} (-1)^m E'_{(m,n)} M_{D1m}, & \delta_{D1n} &= \frac{a}{D} \sum_{m=1}^{m \neq n} (-1)^m E'_{(m,n)} M_{B1m} + \frac{a}{D} A'_{(n)} M_{D1m} \\ \delta_{A2n} &= \frac{a}{D} A_{(n)} M_{A2n} + \frac{a}{D} \sum_{m=1}^{m \neq n} (-1)^m E'_{(m,n)} M_{D2m}, & \delta_{D2n} &= \frac{a}{D} \sum_{m=1}^{m \neq n} (-1)^m E'_{(m,n)} M_{A2n} + \frac{a}{D} A'_{(n)} M_{D2m} \\ \delta_{B3n} &= \frac{a}{D} A_{(n)} M_{B3n} + \frac{a}{D} \sum_{m=1}^{m \neq n} (-1)^m E'_{(m,n)} M_{C3m}, & \delta_{C3n} &= \frac{a}{D} \sum_{m=1}^{m \neq n} (-1)^m E'_{(m,n)} M_{B3n} + \frac{a}{D} A'_{(n)} M_{C3m} \\ \delta_{A4n} &= \frac{a}{D} A_{(n)} M_{A4n} + \frac{a}{D} \sum_{m=1}^{m \neq n} E'_{(m,n)} M_{C4m}, & \delta_{C4n} &= \frac{a}{D} \sum_{m=1}^{m \neq n} E'_{(m,n)} M_{A4n} + \frac{a}{D} A'_{(n)} M_{C4m} \end{aligned} \right\} (20)$$

他方節線0-1, 0-2, 0-3, 0-4に於いて式(1), (2)の節線方程式
および連続条件式を求めれば次のごとく一連の条件式がえられる。

$$\begin{aligned} M_{B1n} &= -M_{A2n} (= M_{Bn}), & M_{D1n} &= -M_{C3n} (= M_{Dn}), & M_{A4n} &= -M_{B3n} (= M_{An}) \\ M_{C4n} &= -M_{D2n} (= M_{Cn}), & \delta_{B1n} &= \delta_{A2n}, & \delta_{D1n} &= \delta_{C3n}, & \delta_{B3n} &= \delta_{A4n}, & \delta_{C4n} &= \delta_{D2n} \end{aligned} \quad (21)$$

式(20), (21)より M_{An} , M_{Bn} , M_{Cn} , M_{Dn} に関する連立方程式が次式のごとく求まる。

$$\left. \begin{aligned} 2A_{(n)} M_{An} + \sum_{m=1}^{m \neq n} E'_{(m,n)} M_{Cm} + \sum_{m=1}^{m \neq n} (-1)^m E'_{(m,n)} M_{Dm} &= 0, & 2A_{(n)} M_{Bn} + \sum_{m=1}^{m \neq n} (-1)^m E'_{(m,n)} M_{Cm} + \sum_{m=1}^{m \neq n} E'_{(m,n)} M_{Dm} &= 0 \\ \sum_{m=1}^{m \neq n} E'_{(m,n)} M_{An} + \sum_{m=1}^{m \neq n} (-1)^m E'_{(m,n)} M_{Bn} + 2A'_{(n)} M_{Cn} &= 0, & \sum_{m=1}^{m \neq n} (-1)^m E'_{(m,n)} M_{An} + \sum_{m=1}^{m \neq n} E'_{(m,n)} M_{Bn} + 2A'_{(n)} M_{Dn} &= 0 \end{aligned} \right\} (22)$$

いま $m = n = N$ 項をとり、式(22)より次のごとく固有値方程式がえられる。

$$\begin{vmatrix} (2A_{(n)}) & 0 & (E_{(n,n)}) & (-1)^n E_{(n,n)} \\ 0 & (2A_{(n)}) & (-1)^n E_{(n,n)} & (-1)^n E_{(n,n)} \\ (E'_{(n,n)}) & (-1)^n E'_{(n,n)} & (2A'_{(n)}) & 0 \\ (-1)^n E'_{(n,n)} & (E'_{(n,n)}) & 0 & (2A'_{(n)}) \end{vmatrix} = 0 \quad (E_{(n,n)}) = \begin{pmatrix} E'_{(1,1)} & E'_{(1,2)} & \dots & E'_{(1,N)} \\ E'_{(2,1)} & E'_{(2,2)} & \dots & E'_{(2,N)} \\ \dots & \dots & \dots & \dots \\ E'_{(N,1)} & E'_{(N,2)} & \dots & E'_{(N,N)} \end{pmatrix} \quad (23)$$

計算例として $N=10$ をとり、式(23)より一次振動数、二次振動数を求めた結果、それぞれ $\mu^2=4.0$
および $\mu^2=9.514$ がえられた。前者は用いたごとく周辺単純支持矩形板の一次振動数であり、また
後者は隣り合う2辺が固定で他の2辺が単純支持される矩形板の一次振動数であり、本法の正しい
ことと証明された。

5. 結論 本研究は板の振動力の片角一端モーメント関係式を用いて連続板の固有周期を算定す
るものであり、梁理論に基づく振動接角法に相違し、自由辺を含まないあらゆる連続板の μ^2 の算定
用出来たものとあり、自由辺を含む連続板については、式(1)の境界条件を変えて板の振動力の片角一
端モーメント関係式を求め、その結果を用いればよく、また連続板の強制振動についても本法と同様
の手法により解析可能で、示されたいは逐次発表の予定である。なお本研究は文部省科学研究費
の補助を受けた。記して謝意を表する。

(参考文献) (1) 山崎 橋本 櫻田; 片角一端モーメント関係式による等列連続矩形板の解法 九大工学報 39巻加号
(2) 山崎 房 坂; 一対辺自由な二方向連続板の安定 土木学会講演概要 昭和4年, 5月
(3) 倉田 宗章; On Vibration of Continuous Rectangular plates Proc App Mech, 1951